

WYNIKI CIĄGLYCH POMIARÓW HAŁASU W ŚRODOWISKU DLA PORTU LOTNICZEGO IM. F. CHOPINA W WARSZAWIE

Nazwa obiektu: punkt pomiarowy nr 5 „Meral”

Data wykonania pomiaru:

początek: 01 – 11 - 2019

koniec: 30 – 11 - 2019

Lokalizacja punktu pomiarowego: Warszawa, ul. Czeresiñowa 98

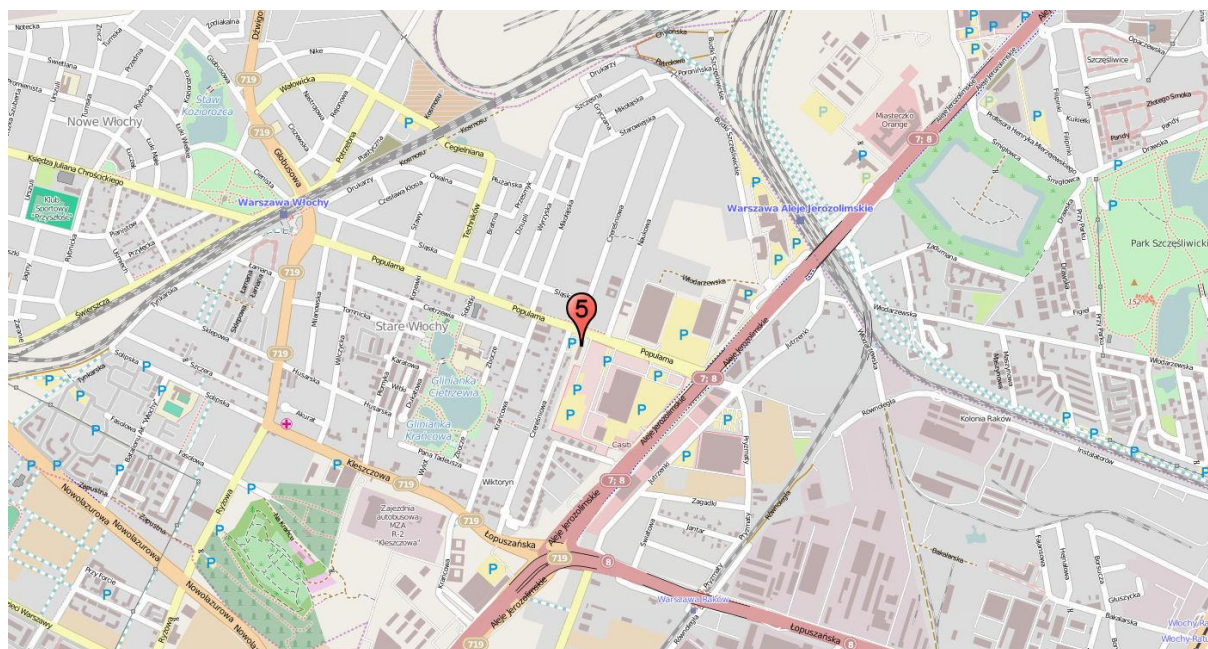
Układ współrzędnych: WGS 84

Szerokość geograficzna: N 52° 12' 08,4”

Długość geograficzna: E 20° 55' 48,2”

Względna wysokość punktu pomiarowego [m]: 24

Lokalizacja na planie:



Metoda badań:

Metoda ciągłych lub okresowych pomiarów monitoringowych: metodyka referencyjna, określona w załączniku nr 1 do rozporządzenia Ministra Środowiska z dnia 16.06.2011 w sprawie wymagań w zakresie prowadzenia pomiarów poziomów substancji lub energii w środowisku przez zarządzającego drogą, linią kolejową, linią tramwajową, lotniskiem, portem.

Metody obliczeniowe: jw.

Aparatura pomiarowa:

Analizator poziomu dźwięku (producent; nr typu): Lochard, EMU-2

Mikrofon/sonda mikrofonowa (producent; nr typu): Lochard, 41DM-2

Świadectwo uwierzytelnienia nr 1280.4-M24-4180-297/15 z dnia 16.11.2016 r. wydane przez Prezesa Głównego Urzędu Miar

Wzorzec akustyczny (producent; nr typu): Brüel & Kjær; 4228

Równoważny poziom dźwięku w porze dnia i w porze nocy
w odniesieniu do jednej doby, wg wskaźników L_{AeqD} i L_{AeqN}
powodowany przez starty, lądowania i przeloty statków
powietrznych

| Dzień miesiąca/ Lisopad 2019 r. | Równoważny poziom dźwięku | |
|------------------------------------|------------------------------|------------------------------|
| | Pora dnia L_{AeqD} w dB | Pora nocy L_{AeqN} w dB |
| 1 | 46,5 | 0,0 |
| 2 | 45,7 | 0,0 |
| 3 | 46,6 | 31,5 |
| 4 | 51,1 | 47,1 |
| 5 | 55,1 | 49,8 |
| 6 | 54,4 | 48,2 |
| 7 | 48,0 | 39,1 |
| 8 | 40,9 | 0,0 |
| 9 | 28,3 | 34,2 |
| 10 | 55,1 | 45,3 |
| 11 | 52,9 | 37,4 |
| 12 | 44,8 | 41,5 |
| 13 | 47,3 | 34,2 |
| 14 | 53,1 | 42,8 |
| 15 | 45,6 | 31,5 |
| 16 | 44,0 | 45,4 |
| 17 | 44,6 | 0,0 |
| 18 | 43,6 | 34,2 |
| 19 | 46,1 | 34,2 |
| 20 | 0,0 | 40,6 |
| 21 | 48,5 | 41,2 |
| 22 | 46,1 | 44,1 |
| 23 | 39,7 | 39,0 |
| 24 | 0,0 | 0,0 |
| 25 | 43,0 | 34,2 |
| 26 | 37,5 | 34,2 |
| 27 | 40,1 | 34,3 |
| 28 | 42,0 | 43,3 |
| 29 | 55,0 | 49,6 |
| 30 | 54,5 | 49,0 |

Zgodnie z art. 112a ustawy – Prawo ochrony środowiska oraz rozporządzeniem Ministra Środowiska z dnia 16 czerwca 2011 r. w sprawie wymagań w zakresie prowadzenia pomiarów poziomów substancji lub energii w środowisku przez zarządzającego drogą, linią kolejową, linią tramwajową, lotniskiem lub portem, do ustalania i kontroli warunków korzystania ze środowiska mają zastosowanie wskaźniki hałasu odnoszące się do jednej doby:

- L_{AeqD} – równoważny poziom dźwięku A dla pory dnia (rozumianej jako przedział czasu od godz. 6.00 do godz. 22.00),
- L_{AeqN} – równoważny poziom dźwięku A dla pory nocy (rozumianej jako przedział czasu od godz. 22.00 do godz. 6.00).

Wyznaczone wartości tych wskaźników dla poszczególnych dni i nocy w listopadzie 2019 podano w tabeli powyżej.

W tabelach poniżej podano zestawienia zdarzeń akustycznych zarejestrowanych w punkcie pomiarowym, na podstawie których wyznaczono wartości wskaźników L_{AeqD} i L_{AeqN} dla poszczególnych dni i nocy w miesiącu.

Zestawienie zdarzeń akustycznych spowodowanych przelotami statków powietrznych w porze dnia (przedział czasu pomiędzy godz. 06.00 – 22.00)

| Nr punktu pomiarowego | Data i godz. zdarzenia | Samolot | Operacja* | L _{Aeq} | L _{Amax} | L _{AE} |
|-----------------------|------------------------|---------|-----------|------------------|-------------------|-----------------|
| | | | | [dB] | [dB] | [dB] |
| 5 | 01-11-2019 10:23:18 | B738 | D | 75,8 | 80,2 | 90,0 |
| 5 | 01-11-2019 11:10:12 | B77W | A | 72,5 | 76,4 | 86,8 |
| 5 | 01-11-2019 13:14:34 | A343 | A | 73,4 | 77,4 | 86,2 |
| 5 | 01-11-2019 13:49:05 | B788 | A | 72,2 | 75,1 | 84,5 |
| 5 | 02-11-2019 10:59:37 | A321 | A | 66,7 | 70,7 | 83,9 |
| 5 | 02-11-2019 11:12:38 | B77W | A | 73,0 | 79,3 | 88,8 |
| 5 | 02-11-2019 12:02:14 | B789 | A | 73,1 | 76,5 | 86,1 |
| 5 | 02-11-2019 12:29:38 | A343 | A | 72,5 | 76,5 | 87,2 |
| 5 | 02-11-2019 13:14:10 | B789 | A | 73,3 | 76,8 | 86,0 |
| 5 | 03-11-2019 11:07:22 | B77W | A | 75,9 | 80,9 | 90,4 |
| 5 | 03-11-2019 12:26:36 | B789 | A | 72,5 | 77,2 | 87,1 |
| 5 | 03-11-2019 13:28:13 | B789 | A | 73,7 | 77,0 | 86,9 |
| 5 | 03-11-2019 14:19:51 | B789 | A | 72,6 | 76,7 | 86,2 |
| 5 | 03-11-2019 15:56:10 | B788 | A | 73,4 | 77,3 | 86,4 |
| 5 | 03-11-2019 15:58:38 | B738 | A | 68,4 | 73,4 | 85,9 |
| 5 | 04-11-2019 06:02:05 | DH8D | A | 67,1 | 67,8 | 77,1 |
| 5 | 04-11-2019 06:45:58 | A332 | A | 67,1 | 68,0 | 77,5 |
| 5 | 04-11-2019 11:02:29 | B77W | A | 74,8 | 79,1 | 88,3 |
| 5 | 04-11-2019 12:30:19 | A343 | A | 72,8 | 77,1 | 86,6 |
| 5 | 04-11-2019 13:01:05 | B788 | A | 72,7 | 76,0 | 85,3 |
| 5 | 04-11-2019 14:56:50 | B763 | D | 77,1 | 82,3 | 91,8 |
| 5 | 04-11-2019 15:15:15 | B788 | D | 73,4 | 77,1 | 87,7 |
| 5 | 04-11-2019 15:17:31 | B789 | D | 76,6 | 80,9 | 90,7 |
| 5 | 04-11-2019 15:42:13 | B788 | D | 72,6 | 77,1 | 86,8 |
| 5 | 04-11-2019 16:28:53 | B788 | D | 72,8 | 76,6 | 86,7 |
| 5 | 04-11-2019 17:17:44 | E195 | D | 75,8 | 82,2 | 89,8 |
| 5 | 04-11-2019 17:36:57 | B789 | D | 73,7 | 77,6 | 87,3 |
| 5 | 04-11-2019 17:45:42 | B789 | D | 74,8 | 79,1 | 88,4 |
| 5 | 05-11-2019 06:53:42 | B738 | D | 75,8 | 81,0 | 90,7 |
| 5 | 05-11-2019 08:11:40 | E190 | D | 73,1 | 78,1 | 88,3 |
| 5 | 05-11-2019 08:39:35 | B738 | D | 75,5 | 81,1 | 90,7 |
| 5 | 05-11-2019 10:15:22 | B738 | D | 75,0 | 80,7 | 90,1 |
| 5 | 05-11-2019 10:52:17 | B763 | D | 76,9 | 82,1 | 92,3 |
| 5 | 05-11-2019 11:31:58 | B789 | D | 73,8 | 78,8 | 87,9 |
| 5 | 05-11-2019 12:13:30 | B738 | D | 73,0 | 77,8 | 88,2 |
| 5 | 05-11-2019 13:57:50 | B77W | D | 73,7 | 77,4 | 88,7 |
| 5 | 05-11-2019 15:12:15 | E195 | D | 69,0 | 69,9 | 78,5 |
| 5 | 05-11-2019 15:27:15 | B789 | D | 74,9 | 78,4 | 87,7 |
| 5 | 05-11-2019 16:59:43 | E190 | D | 69,4 | 73,7 | 84,0 |
| 5 | 05-11-2019 17:29:59 | A343 | D | 81,5 | 86,6 | 96,2 |
| 5 | 05-11-2019 17:32:58 | B789 | D | 74,0 | 78,1 | 87,2 |
| 5 | 05-11-2019 17:36:24 | A343 | D | 81,5 | 86,3 | 96,3 |
| 5 | 05-11-2019 17:56:16 | B789 | D | 74,0 | 78,6 | 88,0 |
| 5 | 05-11-2019 19:38:52 | B788 | D | 72,1 | 76,0 | 86,1 |
| 5 | 06-11-2019 06:50:56 | A321 | D | 68,6 | 72,5 | 78,2 |
| 5 | 06-11-2019 06:53:43 | A319 | D | 66,5 | 68,0 | 75,6 |
| 5 | 06-11-2019 09:32:12 | B788 | D | 72,7 | 76,4 | 86,5 |
| 5 | 06-11-2019 11:07:26 | B788 | D | 71,5 | 73,9 | 85,3 |
| 5 | 06-11-2019 11:41:46 | B738 | D | 76,1 | 80,8 | 91,0 |
| 5 | 06-11-2019 12:35:33 | B789 | D | 73,9 | 77,4 | 87,5 |
| 5 | 06-11-2019 13:03:41 | E190 | D | 68,6 | 70,4 | 78,6 |
| 5 | 06-11-2019 13:14:53 | A321 | D | 67,5 | 71,3 | 84,8 |

| Nr punktu pomiarowego | Data i godz. zdarzenia | Samolot | Operacja* | L _{Aeq} | L _{Amax} | L _{AE} |
|-----------------------|------------------------|---------|-----------|------------------|-------------------|-----------------|
| | | | | [dB] | [dB] | [dB] |
| 5 | 06-11-2019 13:20:51 | A332 | D | 77,4 | 82,5 | 92,9 |
| 5 | 06-11-2019 14:38:37 | A321 | D | 68,6 | 70,5 | 77,6 |
| 5 | 06-11-2019 15:09:47 | B789 | D | 74,3 | 77,9 | 87,7 |
| 5 | 06-11-2019 16:08:08 | B789 | D | 73,8 | 76,2 | 86,8 |
| 5 | 06-11-2019 16:13:55 | B788 | D | 73,1 | 76,6 | 87,2 |
| 5 | 06-11-2019 16:34:58 | B738 | D | 68,4 | 71,5 | 83,2 |
| 5 | 06-11-2019 17:15:05 | A343 | D | 82,2 | 87,7 | 96,5 |
| 5 | 06-11-2019 17:30:17 | A343 | D | 80,4 | 86,2 | 95,1 |
| 5 | 06-11-2019 17:42:51 | B789 | D | 73,6 | 77,6 | 87,4 |
| 5 | 06-11-2019 20:30:21 | B738 | D | 74,7 | 79,0 | 89,3 |
| 5 | 07-11-2019 09:47:25 | DH8D | A | 69,4 | 72,4 | 86,9 |
| 5 | 07-11-2019 09:52:57 | CRJ9 | A | 68,2 | 69,8 | 79,7 |
| 5 | 07-11-2019 10:21:03 | LJ75 | A | 68,4 | 69,0 | 80,1 |
| 5 | 07-11-2019 10:38:59 | A320 | A | 69,1 | 71,8 | 82,1 |
| 5 | 07-11-2019 10:48:42 | B77W | A | 71,9 | 78,5 | 90,9 |
| 5 | 07-11-2019 11:03:54 | B738 | A | 68,3 | 70,5 | 78,3 |
| 5 | 07-11-2019 12:16:26 | B789 | A | 71,5 | 77,4 | 87,5 |
| 5 | 07-11-2019 12:22:42 | DH8D | A | 67,6 | 69,1 | 80,6 |
| 5 | 07-11-2019 12:24:41 | E195 | A | 68,1 | 68,6 | 77,2 |
| 5 | 07-11-2019 12:35:51 | A343 | A | 73,4 | 77,1 | 86,1 |
| 5 | 07-11-2019 13:15:22 | DH8D | A | 66,9 | 67,5 | 76,9 |
| 5 | 07-11-2019 13:48:14 | A343 | A | 73,3 | 77,2 | 86,3 |
| 5 | 07-11-2019 15:17:35 | B789 | A | 72,3 | 75,6 | 85,5 |
| 5 | 08-11-2019 13:14:46 | A321 | A | 68,0 | 71,0 | 80,3 |
| 5 | 08-11-2019 13:16:37 | DH8D | A | 77,0 | 85,2 | 91,1 |
| 5 | 08-11-2019 13:53:51 | A343 | A | 73,5 | 78,5 | 87,6 |
| 5 | 09-11-2019 06:48:25 | B788 | A | 66,4 | 68,9 | 75,9 |
| 5 | 10-11-2019 08:35:48 | B738 | D | 77,2 | 81,9 | 91,4 |
| 5 | 10-11-2019 08:44:04 | B738 | D | 75,7 | 81,2 | 90,5 |
| 5 | 10-11-2019 09:01:41 | E190 | D | 77,5 | 83,3 | 90,7 |
| 5 | 10-11-2019 09:37:50 | B738 | D | 74,8 | 79,7 | 89,6 |
| 5 | 10-11-2019 12:00:00 | B763 | D | 77,9 | 83,8 | 93,1 |
| 5 | 10-11-2019 13:15:16 | B77W | D | 77,2 | 81,8 | 91,5 |
| 5 | 10-11-2019 13:43:00 | E195 | D | 73,9 | 78,5 | 88,6 |
| 5 | 10-11-2019 14:35:05 | A321 | D | 74,2 | 78,5 | 89,4 |
| 5 | 10-11-2019 14:58:46 | B789 | D | 73,3 | 76,9 | 86,5 |
| 5 | 10-11-2019 15:13:41 | B788 | D | 72,8 | 76,6 | 87,0 |
| 5 | 10-11-2019 15:22:16 | B789 | D | 73,3 | 77,3 | 86,7 |
| 5 | 10-11-2019 15:58:25 | B788 | D | 71,9 | 75,3 | 85,6 |
| 5 | 10-11-2019 17:22:28 | A343 | D | 81,6 | 87,7 | 97,3 |
| 5 | 10-11-2019 17:27:00 | A343 | D | 80,8 | 86,7 | 96,4 |
| 5 | 10-11-2019 17:44:23 | B789 | D | 72,6 | 77,5 | 87,4 |
| 5 | 10-11-2019 17:50:26 | B789 | D | 73,9 | 78,6 | 88,5 |
| 5 | 11-11-2019 07:18:37 | B738 | D | 76,8 | 81,8 | 90,9 |
| 5 | 11-11-2019 08:56:21 | B788 | D | 73,6 | 77,3 | 87,7 |
| 5 | 11-11-2019 10:56:20 | E195 | D | 74,5 | 79,9 | 88,7 |
| 5 | 11-11-2019 12:37:29 | B789 | D | 74,3 | 78,4 | 88,1 |
| 5 | 11-11-2019 12:43:43 | B788 | D | 72,4 | 76,5 | 85,8 |
| 5 | 11-11-2019 13:18:26 | B77W | D | 75,7 | 79,8 | 90,3 |
| 5 | 11-11-2019 13:36:56 | A332 | D | 76,8 | 82,0 | 92,8 |
| 5 | 11-11-2019 14:27:46 | B763 | D | 76,9 | 82,8 | 92,4 |
| 5 | 11-11-2019 14:34:09 | A319 | D | 74,1 | 78,5 | 88,8 |
| 5 | 11-11-2019 14:51:10 | B788 | D | 73,2 | 76,6 | 86,5 |
| 5 | 11-11-2019 15:29:06 | B789 | D | 73,1 | 76,6 | 86,3 |
| 5 | 11-11-2019 15:41:56 | B789 | D | 74,5 | 78,4 | 87,7 |
| 5 | 11-11-2019 16:01:45 | A359 | D | 71,2 | 75,2 | 85,1 |

| Nr punktu pomiarowego | Data i godz. zdarzenia | Samolot | Operacja* | L _{Aeq} | L _{Amax} | L _{AE} |
|-----------------------|------------------------|---------|-----------|------------------|-------------------|-----------------|
| | | | | [dB] | [dB] | [dB] |
| 5 | 11-11-2019 16:15:27 | B789 | D | 74,6 | 78,4 | 87,7 |
| 5 | 12-11-2019 06:54:16 | B763 | A | 76,6 | 82,0 | 93,3 |
| 5 | 12-11-2019 08:23:47 | E170 | A | 67,1 | 68,5 | 77,1 |
| 5 | 12-11-2019 12:01:41 | B788 | A | 71,7 | 75,3 | 85,5 |
| 5 | 12-11-2019 12:19:18 | GLEX | A | 71,0 | 73,3 | 83,8 |
| 5 | 12-11-2019 12:22:43 | E170 | A | 71,0 | 73,5 | 86,7 |
| 5 | 12-11-2019 12:29:24 | E75S | A | 71,0 | 73,7 | 82,2 |
| 5 | 12-11-2019 12:42:18 | DH8D | A | 69,4 | 73,0 | 85,8 |
| 5 | 12-11-2019 12:44:37 | E170 | A | 69,9 | 74,3 | 89,4 |
| 5 | 12-11-2019 13:09:35 | CRJ2 | A | 70,6 | 77,0 | 87,7 |
| 5 | 12-11-2019 13:11:38 | GLF5 | A | 70,0 | 75,0 | 89,6 |
| 5 | 12-11-2019 13:20:31 | AT75 | A | 71,2 | 74,9 | 87,0 |
| 5 | 12-11-2019 13:41:27 | E195 | A | 71,5 | 75,8 | 91,0 |
| 5 | 12-11-2019 14:05:53 | E195 | A | 68,1 | 70,7 | 79,3 |
| 5 | 12-11-2019 15:04:49 | E195 | A | 74,2 | 78,4 | 93,7 |
| 5 | 12-11-2019 15:32:17 | DH8D | A | 68,8 | 71,0 | 84,4 |
| 5 | 12-11-2019 15:54:51 | CRJ9 | A | 69,0 | 71,4 | 88,5 |
| 5 | 12-11-2019 18:26:43 | E170 | A | 69,0 | 72,3 | 83,6 |
| 5 | 13-11-2019 10:49:26 | B77W | A | 74,3 | 78,3 | 89,0 |
| 5 | 13-11-2019 12:34:15 | B789 | A | 73,1 | 77,4 | 87,1 |
| 5 | 13-11-2019 13:24:15 | A343 | A | 74,2 | 78,6 | 87,6 |
| 5 | 13-11-2019 14:06:52 | B788 | A | 72,7 | 76,1 | 86,7 |
| 5 | 13-11-2019 15:03:23 | CL60 | A | 75,0 | 80,5 | 89,8 |
| 5 | 13-11-2019 18:43:20 | E170 | A | 69,6 | 72,6 | 82,1 |
| 5 | 14-11-2019 06:47:32 | A319 | D | 66,7 | 68,8 | 77,9 |
| 5 | 14-11-2019 06:52:01 | B738 | D | 74,8 | 81,2 | 91,3 |
| 5 | 14-11-2019 07:22:09 | B738 | D | 73,8 | 79,3 | 89,2 |
| 5 | 14-11-2019 07:46:17 | E195 | D | 73,8 | 78,0 | 87,9 |
| 5 | 14-11-2019 08:17:58 | B738 | D | 76,0 | 80,3 | 90,5 |
| 5 | 14-11-2019 09:20:55 | B738 | D | 74,8 | 79,2 | 89,5 |
| 5 | 14-11-2019 09:42:42 | B734 | D | 74,8 | 81,7 | 90,8 |
| 5 | 14-11-2019 13:17:52 | B77W | D | 74,4 | 78,2 | 89,7 |
| 5 | 14-11-2019 14:25:48 | E190 | D | 67,5 | 68,1 | 79,2 |
| 5 | 14-11-2019 15:00:30 | DH8D | D | 69,4 | 70,9 | 78,9 |
| 5 | 14-11-2019 15:04:01 | B789 | D | 74,3 | 76,8 | 87,0 |
| 5 | 14-11-2019 15:32:12 | A320 | D | 68,2 | 70,3 | 85,7 |
| 5 | 14-11-2019 15:34:39 | B789 | D | 73,0 | 77,1 | 87,9 |
| 5 | 14-11-2019 15:54:05 | B738 | D | 76,9 | 81,3 | 91,1 |
| 5 | 14-11-2019 16:01:54 | B788 | D | 71,6 | 74,1 | 84,4 |
| 5 | 14-11-2019 16:16:49 | B738 | D | 77,5 | 82,5 | 91,3 |
| 5 | 14-11-2019 16:26:49 | B789 | D | 73,3 | 76,2 | 86,7 |
| 5 | 15-11-2019 06:40:19 | E195 | A | 67,0 | 67,5 | 76,0 |
| 5 | 15-11-2019 10:58:51 | B77W | A | 75,6 | 81,0 | 89,9 |
| 5 | 15-11-2019 11:10:21 | B789 | A | 73,7 | 78,2 | 87,6 |
| 5 | 15-11-2019 14:21:28 | B789 | A | 72,5 | 77,5 | 87,4 |
| 5 | 15-11-2019 14:40:36 | A343 | A | 72,0 | 76,0 | 86,0 |
| 5 | 16-11-2019 12:06:29 | A321 | A | 68,3 | 70,5 | 83,2 |
| 5 | 16-11-2019 13:16:35 | A343 | A | 72,8 | 78,1 | 87,6 |
| 5 | 16-11-2019 13:35:34 | B789 | A | 72,7 | 76,2 | 86,8 |
| 5 | 16-11-2019 14:14:09 | B789 | A | 72,8 | 77,4 | 87,1 |
| 5 | 17-11-2019 10:43:08 | B77W | A | 75,2 | 79,6 | 89,5 |
| 5 | 17-11-2019 12:10:40 | A343 | A | 73,8 | 78,1 | 87,0 |
| 5 | 17-11-2019 12:36:30 | A343 | A | 73,1 | 77,4 | 85,9 |
| 5 | 18-11-2019 11:07:22 | B788 | A | 73,3 | 77,3 | 86,4 |
| 5 | 18-11-2019 12:33:33 | A343 | A | 72,1 | 79,1 | 88,3 |
| 5 | 18-11-2019 12:45:16 | A343 | A | 72,7 | 76,2 | 86,5 |

| Nr punktu pomiarowego | Data i godz. zdarzenia | Samolot | Operacja* | L _{Aeq} | L _{Amax} | L _{AE} |
|-----------------------|------------------------|---------|-----------|------------------|-------------------|-----------------|
| | | | | [dB] | [dB] | [dB] |
| 5 | 19-11-2019 07:25:42 | B734 | D | 73,7 | 80,0 | 88,7 |
| 5 | 19-11-2019 11:29:27 | C56X | A | 68,2 | 68,6 | 77,2 |
| 5 | 19-11-2019 12:49:12 | A343 | A | 73,3 | 78,7 | 86,9 |
| 5 | 19-11-2019 13:32:19 | B789 | A | 72,6 | 75,4 | 85,6 |
| 5 | 19-11-2019 18:51:48 | DH8D | A | 69,0 | 73,2 | 84,4 |
| 5 | 20-11-2019 18:55:38 | PC12 | A | 68,1 | 70,3 | 78,1 |
| 5 | 21-11-2019 06:00:20 | B752 | A | 64,7 | 68,1 | 79,7 |
| 5 | 21-11-2019 06:03:32 | B788 | A | 68,9 | 70,5 | 79,6 |
| 5 | 21-11-2019 06:10:39 | B738 | A | 68,2 | 70,2 | 79,7 |
| 5 | 21-11-2019 06:22:12 | E195 | A | 68,6 | 69,5 | 79,0 |
| 5 | 21-11-2019 06:25:05 | E190 | A | 68,5 | 71,1 | 78,5 |
| 5 | 21-11-2019 09:21:21 | A20N | A | 75,7 | 83,5 | 88,7 |
| 5 | 21-11-2019 09:55:54 | DH8D | A | 67,3 | 71,3 | 77,7 |
| 5 | 21-11-2019 10:33:18 | E195 | A | 67,9 | 69,3 | 77,4 |
| 5 | 21-11-2019 10:42:51 | A321 | A | 68,8 | 70,9 | 84,1 |
| 5 | 21-11-2019 11:43:55 | E170 | A | 68,3 | 72,6 | 87,2 |
| 5 | 21-11-2019 11:47:11 | A320 | A | 68,1 | 71,0 | 80,9 |
| 5 | 21-11-2019 11:54:35 | B738 | A | 69,5 | 77,5 | 87,1 |
| 5 | 21-11-2019 11:57:10 | A319 | A | 67,6 | 68,9 | 78,0 |
| 5 | 21-11-2019 12:00:47 | B734 | A | 70,1 | 73,3 | 83,6 |
| 5 | 21-11-2019 12:09:55 | E75S | A | 69,5 | 75,4 | 88,8 |
| 5 | 21-11-2019 12:23:41 | E195 | A | 68,3 | 69,6 | 78,7 |
| 5 | 21-11-2019 12:55:09 | E195 | A | 70,3 | 71,8 | 79,3 |
| 5 | 21-11-2019 12:57:07 | B789 | A | 69,9 | 73,4 | 84,8 |
| 5 | 21-11-2019 13:03:04 | DH8D | A | 71,2 | 75,4 | 85,6 |
| 5 | 21-11-2019 13:29:57 | A343 | A | 75,2 | 79,9 | 89,5 |
| 5 | 21-11-2019 14:04:36 | DH8D | A | 73,2 | 77,2 | 86,0 |
| 5 | 21-11-2019 14:18:03 | B788 | A | 68,1 | 70,8 | 78,9 |
| 5 | 21-11-2019 14:32:31 | DH8D | A | 70,0 | 73,8 | 82,0 |
| 5 | 21-11-2019 15:00:53 | E195 | A | 69,3 | 73,2 | 82,3 |
| 5 | 21-11-2019 15:07:31 | E75S | A | 66,8 | 68,4 | 75,8 |
| 5 | 21-11-2019 15:32:51 | B738 | A | 69,7 | 72,0 | 82,2 |
| 5 | 21-11-2019 15:40:05 | E195 | A | 69,7 | 73,2 | 80,8 |
| 5 | 21-11-2019 15:56:46 | DH8D | A | 73,1 | 77,7 | 90,1 |
| 5 | 21-11-2019 15:58:53 | DH8D | A | 66,9 | 68,0 | 75,9 |
| 5 | 21-11-2019 16:01:18 | B737 | A | 67,9 | 70,2 | 77,5 |
| 5 | 21-11-2019 16:18:14 | GLF5 | A | 72,2 | 74,7 | 83,9 |
| 5 | 21-11-2019 16:26:27 | C295 | A | 68,5 | 70,4 | 78,0 |
| 5 | 21-11-2019 16:29:01 | B738 | A | 67,9 | 70,5 | 77,9 |
| 5 | 21-11-2019 16:47:06 | A320 | A | 67,8 | 69,8 | 77,8 |
| 5 | 21-11-2019 18:18:39 | E195 | A | 68,4 | 71,7 | 81,4 |
| 5 | 21-11-2019 18:33:23 | DH8D | A | 71,1 | 75,9 | 88,2 |
| 5 | 21-11-2019 18:43:14 | CRJ9 | A | 71,5 | 76,3 | 87,8 |
| 5 | 21-11-2019 19:06:35 | CRJ9 | A | 71,8 | 74,8 | 85,6 |
| 5 | 21-11-2019 19:21:58 | DH8D | A | 72,6 | 76,9 | 82,6 |
| 5 | 21-11-2019 19:45:20 | E195 | A | 69,9 | 74,0 | 83,8 |
| 5 | 21-11-2019 21:06:28 | B733 | A | 71,0 | 73,5 | 81,0 |
| 5 | 21-11-2019 21:45:39 | B737 | A | 68,4 | 70,0 | 77,5 |
| 5 | 22-11-2019 06:33:33 | E75S | A | 71,6 | 74,5 | 82,4 |
| 5 | 22-11-2019 06:35:16 | A320 | A | 70,3 | 76,5 | 86,4 |
| 5 | 22-11-2019 08:54:25 | E170 | A | 68,3 | 71,3 | 85,0 |
| 5 | 22-11-2019 09:09:51 | E195 | A | 69,5 | 72,8 | 84,8 |
| 5 | 22-11-2019 09:23:52 | CRJ9 | A | 67,5 | 69,0 | 79,5 |
| 5 | 22-11-2019 09:50:55 | DH8D | A | 66,9 | 68,9 | 76,9 |
| 5 | 22-11-2019 10:39:22 | A320 | A | 69,6 | 72,6 | 84,8 |
| 5 | 22-11-2019 11:03:54 | B77W | A | 69,8 | 73,8 | 81,2 |

| Nr punktu pomiarowego | Data i godz. zdarzenia | Samolot | Operacja* | L _{Aeq} | L _{Amax} | L _{AE} |
|-----------------------|------------------------|---------|-----------|------------------|-------------------|-----------------|
| | | | | [dB] | [dB] | [dB] |
| 5 | 22-11-2019 12:22:35 | A343 | A | 74,0 | 78,3 | 87,4 |
| 5 | 22-11-2019 12:39:18 | CRJ9 | A | 72,6 | 77,0 | 92,1 |
| 5 | 22-11-2019 13:24:06 | CRJ9 | A | 67,6 | 70,9 | 79,1 |
| 5 | 22-11-2019 14:10:35 | B735 | A | 66,4 | 68,3 | 75,4 |
| 5 | 22-11-2019 14:54:13 | E190 | A | 68,8 | 70,7 | 81,6 |
| 5 | 22-11-2019 15:25:29 | E170 | A | 73,7 | 77,5 | 93,2 |
| 5 | 22-11-2019 15:32:59 | DH8D | A | 74,3 | 77,7 | 93,8 |
| 5 | 22-11-2019 15:40:04 | DH8D | A | 67,4 | 68,5 | 76,4 |
| 5 | 22-11-2019 15:47:10 | E75S | A | 67,4 | 68,5 | 79,5 |
| 5 | 22-11-2019 18:23:38 | E170 | A | 68,9 | 71,7 | 78,4 |
| 5 | 22-11-2019 21:59:22 | A320 | A | 67,8 | 68,9 | 76,8 |
| 5 | 23-11-2019 10:50:18 | E190 | A | 67,6 | 68,2 | 76,6 |
| 5 | 23-11-2019 12:57:25 | E195 | A | 66,3 | 67,1 | 75,4 |
| 5 | 23-11-2019 14:43:05 | E170 | A | 67,7 | 68,7 | 77,2 |
| 5 | 23-11-2019 18:39:08 | B738 | A | 67,0 | 68,7 | 81,5 |
| 5 | 23-11-2019 18:45:11 | E75S | A | 70,4 | 72,7 | 81,9 |
| 5 | 25-11-2019 10:58:59 | B789 | A | 73,3 | 78,8 | 87,7 |
| 5 | 25-11-2019 12:24:03 | A343 | A | 73,5 | 77,9 | 87,1 |
| 5 | 25-11-2019 19:50:16 | B738 | A | 76,6 | 84,1 | 91,0 |
| 5 | 26-11-2019 15:59:29 | DH8D | A | 69,0 | 73,0 | 83,0 |
| 5 | 26-11-2019 18:19:38 | E75S | A | 68,2 | 69,8 | 77,3 |
| 5 | 27-11-2019 12:45:39 | A343 | A | 73,4 | 77,5 | 87,2 |
| 5 | 27-11-2019 15:23:51 | E170 | A | 70,7 | 74,7 | 81,1 |
| 5 | 28-11-2019 12:56:32 | A343 | A | 72,8 | 76,9 | 86,4 |
| 5 | 28-11-2019 20:14:46 | B789 | A | 71,8 | 74,6 | 84,8 |
| 5 | 29-11-2019 06:49:39 | B788 | D | 71,5 | 74,6 | 85,7 |
| 5 | 29-11-2019 08:55:27 | B788 | D | 73,7 | 76,9 | 87,8 |
| 5 | 29-11-2019 08:58:25 | B763 | D | 79,1 | 84,3 | 93,9 |
| 5 | 29-11-2019 09:08:01 | DH8D | D | 76,6 | 84,5 | 90,2 |
| 5 | 29-11-2019 10:39:56 | B788 | D | 72,9 | 76,2 | 86,9 |
| 5 | 29-11-2019 10:58:37 | DH8D | D | 67,6 | 68,1 | 77,6 |
| 5 | 29-11-2019 13:31:44 | A332 | D | 73,3 | 78,8 | 90,0 |
| 5 | 29-11-2019 13:36:41 | B77W | D | 72,6 | 77,4 | 87,7 |
| 5 | 29-11-2019 13:38:55 | DH8D | D | 66,9 | 69,6 | 76,9 |
| 5 | 29-11-2019 14:24:54 | B789 | D | 73,2 | 77,3 | 87,7 |
| 5 | 29-11-2019 14:42:16 | E195 | D | 67,2 | 69,3 | 79,8 |
| 5 | 29-11-2019 14:57:40 | B788 | D | 71,3 | 75,1 | 84,7 |
| 5 | 29-11-2019 15:53:43 | B789 | D | 72,2 | 75,6 | 86,0 |
| 5 | 29-11-2019 16:12:24 | A359 | D | 70,5 | 72,5 | 84,9 |
| 5 | 29-11-2019 16:17:21 | B789 | D | 73,1 | 76,3 | 86,5 |
| 5 | 29-11-2019 17:45:21 | A343 | D | 80,0 | 85,3 | 95,5 |
| 5 | 29-11-2019 17:51:04 | B788 | D | 70,7 | 73,7 | 84,1 |
| 5 | 29-11-2019 18:02:58 | A343 | D | 79,5 | 85,4 | 94,8 |
| 5 | 29-11-2019 18:18:05 | B788 | D | 72,5 | 74,7 | 85,7 |
| 5 | 30-11-2019 06:33:49 | B738 | D | 74,3 | 78,2 | 88,7 |
| 5 | 30-11-2019 07:03:14 | A20N | D | 67,4 | 69,8 | 77,0 |
| 5 | 30-11-2019 07:08:41 | A320 | D | 67,6 | 71,3 | 77,1 |
| 5 | 30-11-2019 11:32:45 | B789 | D | 73,1 | 77,8 | 88,1 |
| 5 | 30-11-2019 12:34:00 | B788 | D | 72,7 | 77,0 | 86,7 |
| 5 | 30-11-2019 12:41:31 | B788 | D | 71,4 | 75,0 | 85,4 |
| 5 | 30-11-2019 13:18:45 | B77W | D | 75,2 | 79,9 | 90,4 |
| 5 | 30-11-2019 15:15:15 | B789 | D | 71,9 | 76,0 | 87,0 |
| 5 | 30-11-2019 16:10:56 | B789 | D | 73,0 | 76,6 | 86,8 |
| 5 | 30-11-2019 16:22:22 | B788 | D | 71,9 | 74,9 | 85,7 |
| 5 | 30-11-2019 17:31:07 | B789 | D | 72,7 | 76,5 | 87,0 |
| 5 | 30-11-2019 17:45:24 | A343 | D | 80,3 | 85,1 | 95,3 |

| Nr punktu pomiarowego | Data i godz. zdarzenia | Samolot | Operacja* | L _{Aeq} | L _{Amax} | L _{AE} |
|-----------------------|------------------------|---------|-----------|------------------|-------------------|-----------------|
| | | | | [dB] | [dB] | [dB] |
| 5 | 30-11-2019 17:54:43 | A343 | D | 79,2 | 85,1 | 95,1 |
| 5 | 30-11-2019 18:19:51 | B738 | D | 74,0 | 79,1 | 89,0 |
| 5 | 30-11-2019 18:43:15 | B738 | D | 74,9 | 79,3 | 88,1 |
| 5 | 30-11-2019 21:53:19 | B788 | D | 71,2 | 74,4 | 84,9 |

Zestawienie zdarzeń akustycznych spowodowanych przelotami statków powietrznych w porze nocy (przedział czasu pomiędzy godz. 22.00 – 06.00)

| Nr punktu pomiarowego | Data i godz. zdarzenia | Samolot | Operacja* | L _{Aeq} | L _{Amax} | L _{AE} |
|-----------------------|------------------------|---------|-----------|------------------|-------------------|-----------------|
| | | | | [dB] | [dB] | [dB] |
| 5 | 03:11:2019 22:07:17 | E195 | A | 63,8 | 66,4 | 76,6 |
| 5 | 04:11:2019 22:59:17 | E170 | D | 65,4 | 67,1 | 74,4 |
| 5 | 04:11:2019 23:27:57 | B788 | D | 70,8 | 75,1 | 85,5 |
| 5 | 04:11:2019 23:33:35 | B738 | D | 74,8 | 81,1 | 90,6 |
| 5 | 05:11:2019 22:38:49 | B738 | D | 73,9 | 78,8 | 89,9 |
| 5 | 05:11:2019 22:51:23 | E170 | D | 63,3 | 64,4 | 72,8 |
| 5 | 05:11:2019 22:56:29 | CRJ9 | D | 63,3 | 64,2 | 72,8 |
| 5 | 05:11:2019 23:11:24 | E75S | D | 72,3 | 77,8 | 87,9 |
| 5 | 06:11:2019 05:54:58 | A321 | D | 70,6 | 76,5 | 88,4 |
| 5 | 06:11:2019 05:59:39 | A320 | D | 63,1 | 64,6 | 75,4 |
| 5 | 06:11:2019 22:55:29 | E170 | D | 63,4 | 64,4 | 73,8 |
| 5 | 06:11:2019 23:08:54 | E195 | D | 68,6 | 73,1 | 80,6 |
| 5 | 06:11:2019 23:12:19 | E190 | D | 64,7 | 66,2 | 78,0 |
| 5 | 06:11:2019 23:15:16 | B738 | D | 73,5 | 79,5 | 90,2 |
| 5 | 06:11:2019 23:36:45 | B789 | D | 71,1 | 75,6 | 86,1 |
| 5 | 07:11:2019 22:02:23 | DH8D | A | 63,7 | 66,6 | 79,8 |
| 5 | 07:11:2019 22:17:34 | A321 | A | 64,3 | 66,9 | 78,1 |
| 5 | 09:11:2019 22:26:44 | A321 | A | 63,1 | 64,0 | 74,5 |
| 5 | 10:11:2019 22:47:50 | DH8D | D | 63,7 | 65,1 | 72,8 |
| 5 | 10:11:2019 23:06:15 | E195 | D | 62,5 | 64,2 | 74,2 |
| 5 | 10:11:2019 23:15:16 | E190 | D | 62,8 | 63,7 | 74,8 |
| 5 | 10:11:2019 23:18:18 | E170 | D | 64,1 | 64,9 | 74,1 |
| 5 | 11:11:2019 05:56:12 | GLF5 | D | 71,6 | 75,8 | 85,0 |
| 5 | 12:11:2019 05:41:04 | B752 | A | 65,1 | 68,9 | 78,7 |
| 5 | 12:11:2019 05:57:35 | DH8D | A | 63,3 | 63,7 | 76,1 |
| 5 | 12:11:2019 22:13:35 | DH8D | A | 64,4 | 66,7 | 82,2 |
| 5 | 12:11:2019 22:15:40 | B738 | A | 64,0 | 65,2 | 73,0 |
| 5 | 13:11:2019 05:51:26 | B763 | A | 63,3 | 63,8 | 72,8 |
| 5 | 13:11:2019 22:05:34 | A321 | A | 63,5 | 64,1 | 72,5 |
| 5 | 14:11:2019 23:19:44 | B789 | D | 73,0 | 79,0 | 88,1 |
| 5 | 15:11:2019 22:14:42 | E195 | A | 63,4 | 64,2 | 73,8 |
| 5 | 16:11:2019 23:20:04 | B788 | D | 72,4 | 78,5 | 88,1 |
| 5 | 16:11:2019 23:32:14 | B789 | D | 71,8 | 75,7 | 86,2 |
| 5 | 18:11:2019 22:53:58 | A321 | A | 72,4 | 76,4 | 83,2 |
| 5 | 19:11:2019 22:08:37 | A321 | A | 63,7 | 65,5 | 78,0 |
| 5 | 20:11:2019 22:00:00 | DH8D | A | 68,4 | 72,3 | 79,8 |
| 5 | 20:11:2019 22:24:51 | A321 | A | 63,4 | 64,0 | 72,9 |
| 5 | 21:11:2019 05:42:33 | A321 | A | 63,9 | 65,6 | 76,9 |
| 5 | 21:11:2019 05:50:40 | B763 | A | 64,0 | 65,9 | 77,4 |
| 5 | 21:11:2019 22:02:36 | DH8D | A | 63,8 | 65,1 | 77,6 |
| 5 | 21:11:2019 22:07:18 | B739 | A | 63,8 | 65,7 | 75,3 |
| 5 | 21:11:2019 22:09:41 | DH8D | A | 65,6 | 69,6 | 82,3 |
| 5 | 21:11:2019 22:35:23 | E195 | A | 68,5 | 76,0 | 85,4 |

| Nr punktu pomiarowego | Data i godz. zdarzenia | Samolot | Operacja* | L_{Aeq} | L_{Amax} | L_{AE} |
|-----------------------|------------------------|---------|-----------|-----------|------------|----------|
| | | | | [dB] | [dB] | [dB] |
| 5 | 21:11:2019 22:39:10 | A20N | A | 67,0 | 70,3 | 80,0 |
| 5 | 21:11:2019 22:46:00 | A319 | A | 64,4 | 66,4 | 76,5 |
| 5 | 21:11:2019 23:23:56 | E190 | A | 67,9 | 69,1 | 77,9 |
| 5 | 22:11:2019 05:32:47 | B763 | A | 63,6 | 65,0 | 74,0 |
| 5 | 22:11:2019 05:44:38 | ATP | A | 64,9 | 67,1 | 77,9 |
| 5 | 22:11:2019 22:01:53 | B738 | A | 63,4 | 65,6 | 74,5 |
| 5 | 22:11:2019 22:07:09 | DH8D | A | 63,5 | 64,5 | 73,5 |
| 5 | 22:11:2019 22:08:51 | DH8D | A | 63,5 | 64,0 | 73,1 |
| 5 | 22:11:2019 22:14:54 | DH8D | A | 63,2 | 63,9 | 72,2 |
| 5 | 22:11:2019 22:42:39 | E195 | A | 63,1 | 64,5 | 74,5 |
| 5 | 22:11:2019 23:00:48 | E190 | A | 64,3 | 65,5 | 76,4 |
| 5 | 22:11:2019 23:26:04 | A319 | A | 64,7 | 67,6 | 81,2 |
| 5 | 23:11:2019 22:08:24 | B738 | A | 65,0 | 67,1 | 75,0 |
| 5 | 25:11:2019 22:41:50 | A321 | A | 63,7 | 64,8 | 74,2 |
| 5 | 26:11:2019 22:11:41 | A321 | A | 63,9 | 65,1 | 75,9 |
| 5 | 27:11:2019 05:32:25 | ATP | A | 63,5 | 64,4 | 72,6 |
| 5 | 27:11:2019 05:36:26 | B762 | A | 63,4 | 65,6 | 78,2 |
| 5 | 27:11:2019 22:09:57 | CRJ9 | A | 64,5 | 66,2 | 77,9 |
| 5 | 28:11:2019 22:46:11 | E195 | D | 64,8 | 66,1 | 75,2 |
| 5 | 28:11:2019 23:23:43 | B789 | D | 72,7 | 77,9 | 87,5 |
| 5 | 29:11:2019 22:40:42 | E195 | D | 72,8 | 80,5 | 88,9 |
| 5 | 29:11:2019 23:11:36 | CRJ9 | D | 63,4 | 65,0 | 74,8 |
| 5 | 29:11:2019 23:13:25 | DH8D | D | 64,0 | 67,8 | 79,3 |
| 5 | 29:11:2019 23:24:36 | B789 | D | 70,6 | 74,0 | 85,8 |
| 5 | 29:11:2019 23:29:14 | B734 | D | 65,9 | 68,9 | 78,9 |
| 5 | 30:11:2019 01:12:45 | B738 | D | 72,7 | 78,4 | 89,3 |
| 5 | 30:11:2019 22:47:48 | DH8D | D | 66,9 | 71,3 | 77,3 |
| 5 | 30:11:2019 22:58:06 | B738 | D | 72,2 | 77,1 | 88,3 |
| 5 | 30:11:2019 23:11:49 | B789 | D | 71,5 | 76,0 | 86,4 |
| 5 | 30:11:2019 23:28:45 | B788 | D | 72,1 | 77,1 | 87,1 |

LEGENDA

- Samolot – typ statku powietrznego
- Operacja: A – lądowanie, D – start, P - przelot
- L_{Aeq} – równoważny poziom dźwięku dla zdarzenia akustycznego
- L_{Amax} – maksymalny poziom dźwięku dla zdarzenia akustycznego
- L_{AE} – ekspozycyjny poziom dźwięku dla zdarzenia akustycznego
- Kolorem niebieskim oznaczono zdarzenia akustyczne, które miały miejsce w czasie gdy nie były spełnione warunki meteorologiczne¹, a także wystąpiły zakłócenia od innych źródeł hałasu.

¹ Warunki meteorologiczne określone w punkcie D "Referencyjnej metodyki wykonywania ciągłych pomiarów poziomów hałasu wprowadzanego do środowiska przez starty, lądowania i przeloty statków powietrznych w związku z eksploatacją lotnisk oraz kryteria lokalizacji punktów pomiarowych" (Załącznik nr 1 do rozporządzenia Ministra Środowiska z dnia 16 czerwca 2011 r. w sprawie wymagań w zakresie prowadzenia pomiarów poziomów substancji lub energii w środowisku przez zarządzającego drogą, linią kolejową, linią tramwajową, lotniskiem lub portem).

WARUNKI METEOROLOGICZNE DLA LOTNISKA:

Ustalane na wysokości: 106,51 m n.p.m

| Wielkości ustalone | Wartości maksymalne | Wartości minimalne | Wartości średnie miesięczne |
|-------------------------------|---------------------|--------------------|-----------------------------|
| | w danym miesiącu | w danym miesiącu | |
| Temperatura [°C] | 16,5 | -4,6 | 6,3 |
| Wilgotność względna [%] | 98 | 51 | 85 |
| Ciśnienie atmosferyczne [hPa] | 1012,7 | 978,3 | 998,1 |

Miesięczna róża wiatrów

